

А. В. Десятов<sup>1</sup>, М. Д. Диев<sup>2</sup>, Д. Н. Морской<sup>2</sup>, А. Н. Пономарев<sup>1</sup>, С. Г. Черкасов<sup>1</sup>

Исследовательский центр им. М.В.Келдыша, Москва, Россия (1)

Московский государственный технический университет им. Н.Э. Баумана, Россия (2)

## ЭВОЛЮЦИЯ ОДИНОЧНОГО ПУЗЫРЬКА ПРИ ВНЕЗАПНОМ ИЗМЕНЕНИИ ВНЕШНЕГО ДАВЛЕНИЯ В ОКРУЖАЮЩЕЙ ЖИДКОСТИ

### АННОТАЦИЯ

Проведен анализ эволюции пузырька, находящегося в бесконечном объеме несжимаемой жидкости, когда выполняется политропный «закон» роста/схлопывания. Получены расчетные соотношения для скорости изменения размеров пузырька в политропном процессе при произвольном значении показателя политропы и в изотермном процессе. Проанализирован энергетический баланс, в котором учтены изменение внутренней энергии, кинетическая энергия, поверхностная энергия и работа, совершаемая силой внешнего давления. Определены пределы сжатия пузырька.

### 1. ВВЕДЕНИЕ

Задача об эволюции газового пузырька была впервые решена Рэлеем [1]. Постановка данной задачи сводится к тому, что рассматривается сферический газовый пузырек в безграничной жидкости. Жидкость предполагается несжимаемой и невязкой, газ – идеальным. В условиях сферической симметрии уравнения движения и неразрывности для жидкости вокруг пузырька имеют вид:

$$\frac{du}{dt} + u \frac{du}{dr} = -\frac{1}{\rho} \frac{dp}{dr}, \quad (1)$$

$$\frac{\partial}{\partial r}(ur^2) = 0. \quad (2)$$

Будем считать, что  $p_R$  связано с  $p$  формулой Лапласа:  $p - p_R = 2\sigma/R$ . Если массообмен между газом и жидкостью отсутствует, то скорость жидкости на границе с пузырьком будет равна скорости перемещения границы пузырька и, интегрируя (1) с учетом (2) от  $r=R$  до  $r=\infty$ , можно получить уравнение

$$R \frac{d^2 R}{dt^2} + \frac{3}{2} \left( \frac{dR}{dt} \right)^2 = \frac{1}{\rho} (p_R - p_\infty). \quad (3)$$

Уравнение (3) является основой классической модели Рэлея [1] для описания гидродинамических процессов в жидкости при схлопывании сферической каверны ( $p_R = p = 0$ ). Рэлей получил из (3) аналитическую зависимость, связывающую скорость границы каверны с ее текущим радиусом:

$$\left( \frac{dR}{dt} \right)^2 = \frac{2p_\infty}{3\rho} \left( \frac{R_0^3}{R^3} - 1 \right). \quad (4)$$

Очевидно, что в рэлеевской постановке задачи невозможно получить какую-либо информацию об

изменении давления в пузырьке по мере его схлопывания. Известны попытки [2–6] модифицировать уравнение Рэлея путем введения различных поправок, учитывающих вязкость жидкости, адиабатное сжатие газа в пузырьке и т.д.

### 2. ПОЛИТРОПНОЕ ПРИБЛИЖЕНИЕ «ЗАКОНА» РОСТА/СХЛОПЫВАНИЯ ПУЗЫРЬКА

Предположим, что давление в пузырьке и его объем  $V$  связаны уравнением политропы:

$$pV^\gamma = p_0V_0^\gamma, \quad (5)$$

где индекс «0» соответствует начальным условиям. Уравнение (5) включает в себя как частный случай адиабатное поведение газа в пузырьке (если  $\gamma$  – показатель адиабаты). Предположение (5) позволяет, в отличие от модели Рэлея, рассматривать не только схлопывающиеся, но и растущие пузырьки.

Используя (5) и формулу Лапласа, преобразуем уравнение (3) к виду

$$R \frac{d^2 R}{dt^2} + \frac{3}{2} \left( \frac{dR}{dt} \right)^2 = \frac{1}{\rho} \left( p_0 \frac{R_0^3}{R^3} - \frac{2\sigma}{R} - p_\infty \right). \quad (6)$$

Несмотря на более сложный вид уравнения (6), из него, как и в модели Рэлея, можно получить аналитическую зависимость скорости границы пузырька от его текущего радиуса:

$$\begin{aligned} \frac{3\rho}{2} \left( \frac{dR}{dt} \right)^2 &= p_\infty \left( \frac{R_0^3}{R^3} - 1 \right) + \\ &+ \frac{p_0}{\gamma - 1} \left( \frac{R_0^3}{R^3} - \frac{R_0^{3\gamma}}{R^{3\gamma}} \right) + \frac{3\sigma}{R_0} \left( \frac{R_0^3}{R^3} - \frac{R_0}{R} \right). \end{aligned} \quad (7)$$

В предельном случае  $\gamma \rightarrow 1$  (изотермический процесс для газа в пузырьке) (7) переходит в формулу

$$\begin{aligned} \frac{3\rho}{2} \left( \frac{dR}{dt} \right)^2 &= p_\infty \left( \frac{R_0^3}{R^3} - 1 \right) + \\ &+ 3p_0 \frac{R_0^3}{R^3} \ln \frac{R}{R_0} + \frac{3\sigma}{R_0} \left( \frac{R_0^3}{R^3} - \frac{R_0}{R} \right). \end{aligned}$$

Отметим, что формула Рэлея является частным случаем формулы (7) при  $p_0 = 0$ ,  $\sigma = 0$ .

### 3. ЭНЕРГЕТИЧЕСКИЙ БАЛАНС В ПРОЦЕССЕ ЭВОЛЮЦИИ ПУЗЫРЬКА

Рассмотрим энергетический баланс процесса адиабатного сжатия газового пузырька. Пусть в некоторый момент времени радиус пузырька равен  $R$ , а температура –  $T$ . Изменение внутренней энергии газа в пузырьке запишем с учетом уравнения состояния в виде:

$$\Delta E = \frac{4}{3} \pi R_0^3 p_0 \frac{1}{\gamma-1} \left[ \left( \frac{R_0}{R} \right)^{3(\gamma-1)} - 1 \right]. \quad (8)$$

Для кинетической энергии жидкости с учетом уравнения неразрывности получим

$$K = 2\pi\rho \left( \frac{dR}{dt} \right)^2 R^3. \quad (9)$$

Складывая (8) и (9) и учитывая, что кинетическая энергия жидкости в начальный момент времени равнялась нулю, получим для изменения полной энергии системы

$$\Delta E + K = \frac{4}{3} \pi R_0^3 p_0 \frac{1}{\gamma-1} \left[ \left( \frac{R_0}{R} \right)^{3(\gamma-1)} - 1 \right] + 2\pi\rho \left( \frac{dR}{dt} \right)^2 R^3. \quad (10)$$

Подставляя во второе слагаемое в правой части (10) выражение (7), можно получить, что

$$\Delta E + K + 4\pi\sigma(R^2 - R_0^2) = \frac{4}{3} \pi p_\infty (R_0^3 - R^3). \quad (11)$$

Правая часть (11) есть работа, совершенная силой внешнего давления, последнее слагаемое в левой части (11) – изменение поверхностной энергии. Отметим, что поверхностная энергия появляется в энергетическом балансе через предположение о различии давлений с различных сторон свободной поверхности, из-за чего работа, совершаемая жидкостью над пузырьком, не равна работе, совершаемой над газом в пузырьке. Разность этих работ и есть изменение поверхностной энергии.

### 4. АНАЛИЗ СЖАТИЯ ПУЗЫРЬКА В БЕЗРАЗМЕРНЫХ ПЕРЕМЕННЫХ

Для дальнейшего анализа удобно ввести следующие безразмерные переменные:  $x = R_0/R$ ,

$$A_p = \frac{p_\infty}{p_0}, \quad A_\sigma = \frac{\sigma}{R_0 p_0}, \quad f = \frac{3\rho}{2p_0} \left( \frac{dR}{dt} \right)^2.$$

В безразмерных переменных основная формула (7) принимает вид

$$f(x) = A_p (x^3 - 1) + \frac{1}{\gamma-1} (x^3 - x^{3\gamma}) + 3A_\sigma (x^3 - x). \quad (12)$$

Рассмотрим процесс сжатия пузырька. В модели Рэлея скорость движения границы каверны моно-

тонно увеличивается при уменьшении ее радиуса и стремится к бесконечности при стремлении ее радиуса к нулю. Формуле (12) при  $\gamma > 1$  соответствует картина, показанная на рис. 1 для  $A_p = 2$  и показателя адиабаты, изменяющегося от максимального значения  $\gamma = 5/3$  (адиабатный процесс в одноатомном газе) до минимального значения  $\gamma = 1$  (изотермный процесс). Кривые на рис. 1 построены для случая, когда окружающей пузырь жидкостью является вода при  $T = 293$  К и  $p_0 = 1,013 \cdot 10^5$  Па; при этих условиях  $A_\sigma = 7,176 \cdot 10^{-3}$ , когда  $R_0 = 10^{-4}$  м.

На рис. 2 показано, как изменяется  $f$  в зависимости от  $A_\sigma$ . Из рис. 2 видно, что по мере уменьшения  $A_\sigma$  влияние этого параметра вырождается.

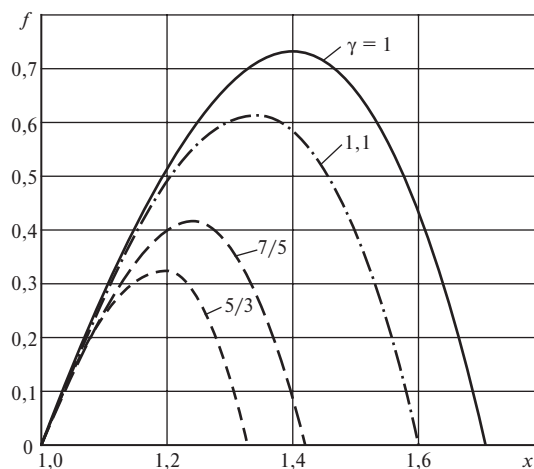


Рис. 1. Влияние значения показателя адиабаты на функцию  $f$  при  $A_p = 2$

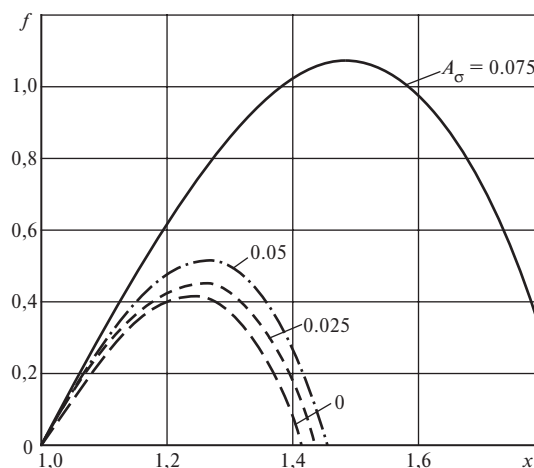


Рис. 2. Влияние величины  $A_\sigma$  на функцию  $f$  при значении показателя адиабаты  $\gamma = 1,4$

На начальном этапе, как и в модели Рэлея, скорость движения границы пузырька растет при уменьшении его радиуса, т.е. при увеличении  $x$ . При некотором значении  $R$  давление в пузырьке становится равным давлению  $p_\infty$ . Однако  $R$  продолжает уменьшаться, несмотря на то, что давление в пузырьке уже превышает внешнее давление. Оче-

видно, что это связано с инерцией жидкости, которая продолжает двигаться к центру, хотя силы давления направлены уже в противоположную сторону. На этом этапе процесса скорость движения границы уже не растет, а уменьшается с уменьшением радиуса. Наконец, при некотором значении  $R$  скорость движения границы пузырька становится равной нулю. Из уравнения неразрывности следует, что при этом становится равной нулю скорость жидкости во всем объеме. Таким образом, в рамках принятой постановки состояние системы в данный момент времени эквивалентно начальным условиям в задаче о расширении пузырька при понижении давления в окружающей жидкости. Поэтому ясно, что в дальнейшем пузырек будет расширяться.

Нулевому значению скорости соответствует минимальное значение радиуса  $R_{\min} = R_0 / x_{\max}$ , которое определяется из условия равенства нулю правой части уравнения (12):

$$A_p(x_{\max}^3 - 1) + \frac{1}{\gamma - 1}(x_{\max}^3 - x_{\max}^{3\gamma}) + 3A_\sigma(x_{\max}^3 - x_{\max}) = 0.$$

Если минимальный радиус пузырька намного меньше начального радиуса, то эту формулу можно записать в приближенной форме:

$$A_p x_{\max}^3 + \frac{1}{\gamma - 1}(x_{\max}^3 - x_{\max}^{3\gamma}) + 3A_\sigma x_{\max}^3 \approx 0.$$

Отсюда можно получить:

$$\frac{R_{\min}}{R_0} = x_{\max}^{-1} \approx \left[ 1 + (\gamma - 1)(A_p + 3A_\sigma) \right]^{\frac{1}{3(1-\gamma)}}.$$

При минимальном радиусе давление в пузырьке имеет максимальное значение

$$p_{\max} = p_0 \frac{R_0^{3\gamma}}{R_{\min}^{3\gamma}}.$$

Тогда

$$\frac{p_{\max}}{p_0} \approx \left[ 1 + (\gamma - 1)(A_p + 3A_\sigma) \right]^{\frac{\gamma}{\gamma - 1}}. \quad (13)$$

## 5. ЭВОЛЮЦИЯ ПУЗЫРЬКА ПЕРЕМЕННОЙ МАССЫ

До сих пор предполагалось, что масса газа в пузырьке неизменна. В случае парового пузырька масса будет переменна из-за фазового перехода на поверхности раздела. При отсутствии фазовых переходов скорость жидкости на границе пузырька совпадает со скоростью перемещения самой границы, и это обстоятельство использовалось выше при выводе некоторых формул. При конденсации или испарении эти скорости различны. Однако, если данным эффектом пренебречь, приведенные формулы можно использовать для анализа эволюции и газовых, и паровых пузырьков. При этом  $\gamma$  можно рассматривать как величину, характеризующую интенсивность теплообмена в рассматриваемой системе. Например, когда  $\gamma = \gamma_a$ , теплообмен между газовым

пузырьком и окружающей жидкостью отсутствует. В противоположном предельном случае, когда интенсивность теплообмена между газом и жидкостью, а также скорость распространения теплоты в жидкости предельно велики, температура газа в пузырьке и температура окружающей жидкости будут неизменными и равными начальной температуре системы, что соответствует показателю политропы, равному единице. Наконец, в случае парового пузырька и предельно высокой интенсивности теплообмена и постоянства температуры вытекает и постоянство давления (т.к. они связаны кривой насыщения), что соответствует  $\gamma = 0$  в формуле (5). Таким образом, изменению интенсивности теплообмена можно грубо поставить в соответствие изменение показателя политропы в пределах от 1 до показателя адиабаты (газовый пузырек) и от 0 до показателя адиабаты (паровой пузырек). Иллюстрирует сказанное график, показанный на рис. 3.

## 6. ПРЕДЕЛЫ СЖАТИЯ ПУЗЫРЬКА

Рассмотрим вопрос о пределах сжатия пузырька. Введем обозначение:

$$\varphi(x) = \frac{df}{dx} = 3 \left[ A_p x^2 + \frac{x^2}{\gamma - 1} (1 - \gamma x^{3\gamma - 3}) + A_\sigma (3x^2 - 1) \right]. \quad (14)$$

Отметим, что при сжатии  $x \geq 1$  и  $A_p > 1$ .

Пузырек, заполненный газом, не растворяющимся в жидкости, не может окончательно исчезнуть (схлопнуться). Это означает, что при  $1 \leq \gamma \leq \gamma_a$  пузырек может быть сжат только до некоторого минимального размера, который определяется из условия  $f(x) = 0$ . С другой стороны, при  $\gamma = 0$  (случай постоянного давления в пузырьке)  $f$  согласно (12) монотонно растет с уменьшением радиуса пузырька. С учетом начального условия  $f(0) = 0$  это означает, что уравнение  $f(x) = 0$  не имеет решений при  $x \neq 1$  и пузырек в конечном итоге схлопнется. Таким образом, в рамках рассматриваемой модели возможны два варианта развития событий, как показано на рис. 2.

В начальный момент времени  $x = 1$  и  $f = 0$ . Поэтому с увеличением  $x$  функция  $f$  сначала растет и ее производная  $\varphi > 0$ . Если сжатие пузырька будет продолжаться только до конечного значения  $x_{\max}$ , при котором  $f$  должно опять обратиться в нуль, то при некотором значении  $x$  ( $1 < x < x_{\max}$ )  $f$  должно достигать максимума и далее уменьшаться, а величина  $x$  должна определиться из условия  $\varphi(x) = 0$ . Используя (14), запишем это условие в виде

$$A_p + A_\sigma (3 - x^{-2}) + \frac{1}{\gamma - 1} = \frac{\gamma}{\gamma - 1} x^{3\gamma - 3}. \quad (15)$$

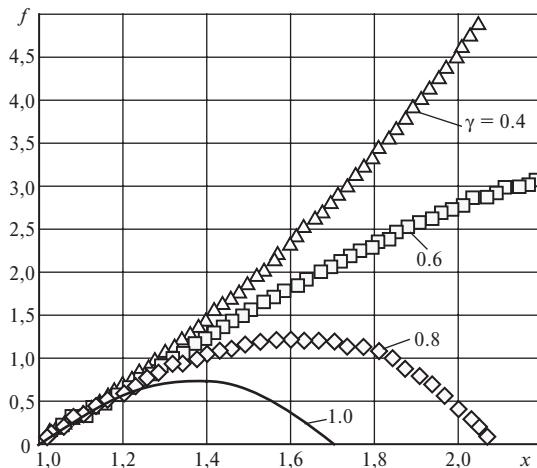


Рис. 3. Влияние значения показателя адиабаты при  $\gamma \leq 1$  на функцию  $f$  при  $A_p = 2$

Отметим, что при  $\gamma > 1$  (газовый пузырек) правая часть (15) и все слагаемые в левой его части положительны, т.е. уравнение имеет решение при любых значениях  $A_p$  и  $A_\sigma$ . В случае же  $\gamma < 1$  (паровой пузырек) правая часть (15) будет всегда отрицательна, а левая часть может быть как отрицательной, так и положительной. Если левая часть (15) положительна, то уравнение (15) не может быть выполнено. Это означает, что зависимость скорости границы пузырька от его радиуса имеет монотонный характер и пузырек будет схлопываться. Легко убедиться, что такая ситуация будет иметь место, если выполнено неравенство

$$A_p + 2A_\sigma > \frac{1}{1-\gamma}. \quad (16)$$

Если не учитывать влияние поверхностного натяжения ( $A_\sigma = 0$ ), то неравенство (16) показывает, что для схлопывания парового пузырька требуется приложить достаточно большое внешнее давление, причем это давление увеличивается при увеличении  $\gamma$ , т.е. при уменьшении интенсивности теплообменных процессов. Неравенство (16) отражает также то обстоятельство, что из-за поверхностного натяжения необходимое внешнее давление уменьшается, поскольку недостаток внешнего давления компенсируется лапласовским давлением.

## ЗАКЛЮЧЕНИЕ

Основой проведенного анализа является формула (7), которая является точным решением в рамках принятой постановки задачи и обобщает известную

формулу Рэлея за счет учета поверхностного натяжения и учета изменения давления в пузырьке, описываемом уравнением политропы. Предположение о политропной связи между давлением и объемом пузырька удобно тем, что позволяет исключить из расчета необходимость вычисления температурного поля в жидкости, однако с физической точки зрения оно представляет собой довольно грубое упрощение реальных процессов. Тем не менее, как показывают полученные выше результаты, принятая упрощенная модель отслеживает основные закономерности и может оказаться полезной для анализа на качественном уровне.

Приведенные материалы получены при поддержке РФФИ (гранты 05-08-01288-а и 05-08-18004-а).

## СПИСОК ОБОЗНАЧЕНИЙ

- $c_v$  – удельная изохорная теплоемкость, Дж/(кг·К);
- $m$  – масса газа в пузырьке, кг;
- $p$  – давление в пузырьке, Па;
- $p_R$  – давление в жидкости на границе пузырька;
- $p_\infty = \text{const}$  – давление в жидкости на бесконечном удалении от пузырька, Па;
- $r$  – координата, м;
- $R(t)$  – радиус пузырька, м;
- $R_0$  – начальный радиус пузырька, м;
- $R_g$  – газовая постоянная, Дж/(кг·К);
- $t$  – время, с;
- $T$  – температура, К;
- $u$  – скорость, м/с;
- $\gamma$  – показатель степени в (5);
- $\gamma_a$  – показатель адиабаты;
- $\rho$  – плотность жидкости, кг/м<sup>3</sup>;
- $\sigma$  – поверхностное натяжение, Н/м.

## СПИСОК ЛИТЕРАТУРЫ

1. **Rayleigh, Lord.** On the pressure developed in a liquid during the collapse of a spherical cavity// *Phil. Mag.* 1917. Vol. 34. P. 94 – 98.
2. <http://caltechbook.library.caltech.edu/1/00/content.htm> (Internet edition: Brennen C.E. *Cavitation and bubble dynamics.* Oxford University Press, 1995).
3. **Накоряков В.Е., Покусаев Б.Г., Шрейбер И.Р.** Волновая динамика газо- и парожидкостных сред. М.: Энергоатомиздат, 1990. 248 с.
4. **Нигматулин Р.И.** Динамика многофазных сред. Ч. I. М.: Наука, 1987. 464 с.
5. **Седов Л.И.** Механика сплошной среды. Т. 1. М.: Наука, 1973. 536 с.
6. **Кнэпп Р., Дейли Дж., Хэммит Ф.** Кавитация. М.: Мир, 1974. 688 с.